

Table 2. Mechanical properties of "maraging" steels as rolled and "maraged" conditions.

Steel	Conditions	$Y.S_{0.02}$ (kg/mm ²)	$Y.S_{0.2}$ (kg/mm ²)	T.S. (kg/mm ²)	Elongation (%)	R.A. (%)	Brinell hardness	Charpy impact value ft-lb
18NiCoMo 180	As hot-rolled Maraged at 482°C for 3h	48.3 120.7	66.5 157.0	116.4 172.0	12.8 12.8	46.2 49.9	36.2 12.7	354 488
18NiCoMo 210	As hot-rolled Maraged at 482°C for 3h	46.3 153.1	77.9 186.0	111.9 199.8	13.8 9.1	49.7 42.9	36.8 10.5	341 555

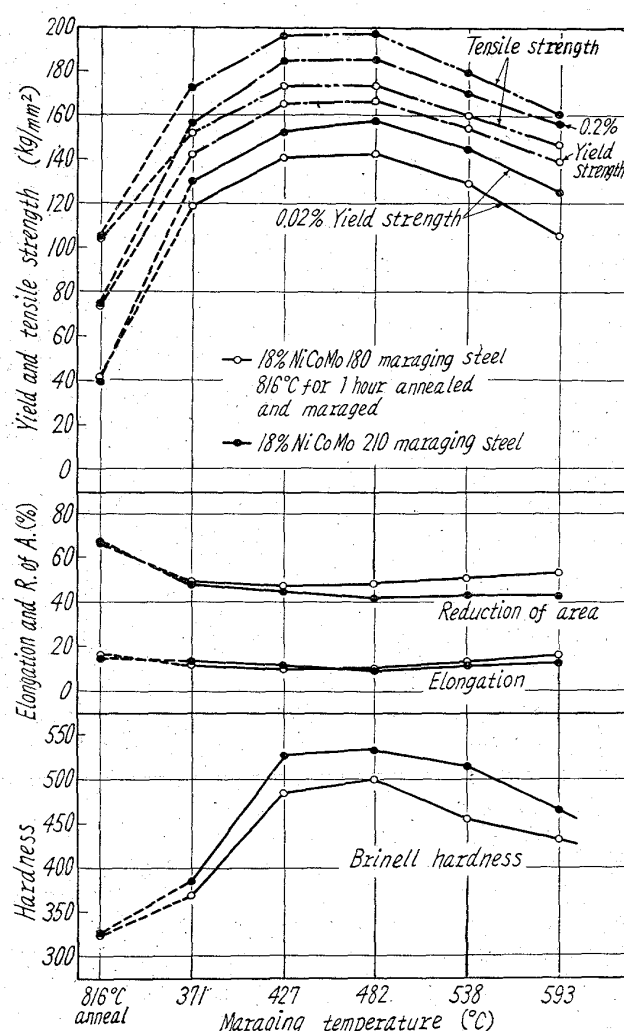


Fig. 3. Effect of "maraging" temperature on the mechanical properties of 18% Ni-Co-Mo "maraging" steels.

最高となりその前後では充分な値が得られていない。伸びおよび絞りは強さ最高のところで各 10% および 45% が得られており、衝撃値は 13~15 ft-lb である。強さは 180 鋼よりも 210 鋼の方が高く最高で前者は 198 kg/mm² (拡張力), 186 kg/mm² (0.2% 耐力) で後者は 175 kg/mm² (拡張力), 168 kg/mm² (0.2% 耐力) である。しかし伸びや衝撲値には両者の間に大きな差が認められない。Table 2 にみると熱間圧延のままの試料を 482°C で時効しても 170~200 kg/mm² の拡張力が得られるが焼鈍材に比較して伸びがやや少ない。

IV. 結 言

18% Ni Co Mo マルエージング鋼を工業的規模で試作し各種熱処理条件での機械的性質を調査した結果 Co Mo Ti を多く含む鋼で適正熱処理を選べば引張り強さ 200 kg/mm², 0.2% 耐力 186 kg/mm² で伸び 10% の機械的性質の得られることが知られた。また前報の 25% Ni および 20% Ni マルエージング鋼と本鋼とを比較すると前者は熱処理が複雑でありかつ最高強さは伸び 10% を得るには約 170 kg/mm² であるが後者は焼鈍および時効処理により上記の性質が得られることが知られた。
~~669, 14, 018, 27, 669, 15, 26, 27, 292-194, 669, 15, 74, 782-194, 620, 179, 3, 620, 193, 41~~
(152) 9% W-Cr-V 鋼系および Si-Mn 鋼系バネ材料の Jominy 式, Modified Jominy 式焼入性試験および耐酸化性等について 63152
(バネ材料に関する研究—II)

熊本大学工学部 工博 堀田秀次
Study on the Jominy Test, Modified Jominy Test and Heat-Resistance Test of Spring Materials Made of 9% W-Cr-V Steel and Si-Mn Steel. 672~574
(Study on the spring materials—II)

Dr. Hideji Hotta.

I. 緒 言

高温用バネ材料に関する研究として著者は既往において種々の研究発表を行なつたが前回の第 10 報においては 9% W-Cr-V 鋼系合金工具鋼 (JIS. SKD・5) について恒温熱浴処理および焼入焼戻の熱処理を施し, Si-Mn 鋼系バネ鋼第 7 種 (JIS. SUP・7) について焼入焼戻を施したものについて硬度試験衝撃試験顕微鏡および松村式繰返打撃試験その他について報告を行なつた。今回はこれに引き続き高温用バネ材料の 9% W-Cr-V 鋼系 (SKD 5) および Si-Mn 鋼系 (SUP 7) についていずれも焼入焼戻の熱処理を施したものについて耐酸化性試験、ならびに Jominy 式および modified Jominy 式焼入性試験その他の試験経過の概要を報告する。

II. 供 試 材 料

(1) 化学成分

供試材はつきの Table 1 に示す化学成分を有する 9% W-Cr-V 鋼系 (SKD 5) および Si-Mn 鋼系 (SUP 7) である。

Table 1. Chmical composition of specimens. (%)

Steels	JIS	C	Si	Mn	P	S	Cr	W	V
Si-Mn steel	S U P 7	0.65	1.97	0.86	0.014	0.008	—	—	—
9%W-Cr-V steel	S K D 5	0.33	0.16	0.37	0.023	0.004	2.42	9.88	0.47

(2) 热处理法

Si-Mn 鋼系の熱処理としては焼鈍は $900^{\circ}\text{C} \times 30\text{mn}$ 保熱後炉中冷却し焼入は $850^{\circ}\text{C} \times 20\text{mn}$ 保熱後油焼入し、また焼戻しは焼鈍焼入後のものを焼戻し温度 450°C , 500°C および 550°C に各 30mn 保熱後空冷した。また 9% W-Cr-V 鋼系の熱処理は焼鈍は $900^{\circ}\text{C} \times 30\text{mn}$ 炉中冷却し焼入としては加熱温度 1100°C に 3mn 保熱後油焼入しまた焼戻しは焼鈍焼入したものを焼戻し温度各 400°C , 500°C および 600°C に各 30mn 保熱後空冷した。なお Jominy 式焼入性および modified Jominy 式焼入性試験片の熱処理は Si-Mn 鋼および 9% W-Cr-V 鋼共に加熱温度 $900^{\circ}\text{C} \times 30\text{mn}$ 保熱後炉中冷却したものについて試験を施行した。

III. 試験の経過ならびに成績

(I) Jominy 式焼入性ならびに modified Jominy 式焼入性試験

a) 試験方法

Si-Mn 鋼系 (SUP 7) および 9% W-Cr-V 鋼系 (SKD 5) の Jominy 式焼入性試験法としては $900^{\circ}\text{C} \times 30\text{mn}$ 保熱後炉中冷却した供試材を切削加工し JIS 規格の一端焼入法の寸法に精密仕上し、Si-Mn 鋼系 (SUP 7) においては $850^{\circ}\text{C} \times 20\text{mn}$ 保熱後 9% W-Cr-V 鋼系 (SKD 5) では $1100^{\circ}\text{C} \times 20\text{mn}$ 加熱保持後所定の試験装置にて一端を水冷焼入した。その後水冷端より試験片の軸方向に 5mm 間隔に 100mm までビッカース硬度を測定した。

またこれが modified Jominy 式焼入性試験としては Si-Mn 鋼系 (SUP 7) 9% W-Cr-V 鋼系 (SKD 5) 共に JIS 規格一端焼入法の寸法に精密仕上げした試験片の一端を 30mm だけ外部に露出させ他をイソライト煉瓦で包み必要外の冷却を防止し Si-Mn 鋼系では $850^{\circ}\text{C} \times 20\text{mn}$, 9% W-Cr-V 鋼系では $1100^{\circ}\text{C} \times 20\text{mn}$ 加熱し均熱後加熱炉より取り出し、静止空気中で冷却した。硬度測定は Jominy 式焼入性試験の場合と同様である。

b) 試験結果

Jominy 式焼入性試験と modified Jominy 式焼入性試験の結果を比較すると焼入端より約 20mm までのビッカース硬度値にかなりの差があるが約 20mm より 100mm の間では Jominy 式の方の焼入性が稍々大である。また 9% W-Cr-V 鋼系の方が Si-Mn 鋼系よりも焼入性大である。

(II) 耐酸化性試験

a) 試験方法

耐酸化性試験に使用した試験片の形状寸法は Si-Mn 鋼系, 9% W-Cr-V 鋼系の両鋼種共上記の所定の熱処理後 $10\text{f mm} \times 10\text{mm}$ に機械精密仕上げしたものである。これが試験方法としては管状ニクロム線電気炉内に入れ、加熱温度各々 300°C , 500°C , 600°C および

700°C に 5 h ごとに累計時間それぞれ 5 h , 10 h , 20 h …… 50 h の酸化增量を測定した。

b) 試験結果

本試験において試験温度 300°C においては両鋼種共加熱保持時間（累計）が増加しても殆んど酸化增量の変化は認められない。試験温度 500°C では酸化增量僅少なるも 600°C および 700°C の温度の上昇に伴い酸化增量も急激に増大し、また加熱保持時間（累計）の増加と共に酸化增量も大となる。

試験温度 $500^{\circ}\text{C} \sim 700^{\circ}\text{C}$ の間ににおいて 9% W-Cr-V 鋼系の方が Si-Mn 鋼系よりも耐酸化性が良好である。両鋼種の焼入焼戻しの熱処理が耐酸化性におよぼす影響は余り顕著に認められない。Fig. 1 は試験温度 700°C における耐酸化試験の成績例である。

IV. 総括

上記の諸実験の結果を総括すると概ね次の如く述べることができる。

(1) Jominy 式焼入性および modified Jominy 式焼入性試験において 9% W-Cr-V 鋼系 (SKD 5) の方が Si-Mn 鋼系 (SUP 7) よりも焼入性が大である。

(2) 一般に Jominy 式の方が modified Jominy 式よりも焼入性が稍々大である。

(3) 耐酸化性試験において試験温度 300°C では両鋼種共酸化增量は殆んどないが試験温度 500°C において酸化增量僅少で試験温度 600°C および 700°C と上昇に伴い酸化增量も激増する。

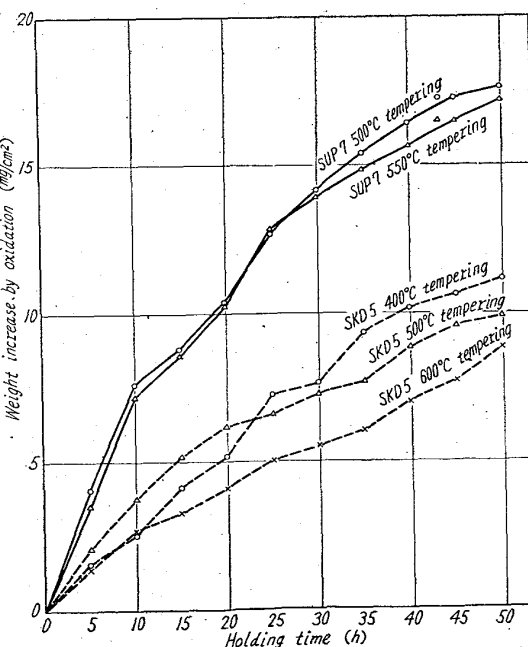


Fig. 1. Relation between the holding time and weight-increase in oxidation at 700°C (SUP 7 & SKD 5).

(4) 加熱保持時間の増加に伴い酸化增量が大となる。また9%W-Cr-V鋼がSr-Mn鋼よりも耐酸化性大である。

669.14.018.841.669.15.126-194.620.193.41

*546.175-323.669.1784.669.26

(153) 低炭素-Cr鋼の耐食性におよぼすC%, Cr%, HNO₃濃度の影響

(Cr鋼の耐食性に関する研究—1)

関東製鋼浦川工場 63/53

工博 大沢 秀雄・○浅田 貞次

Effects of C%, Cr% and HNO₃ Concentration on Corrosion Resistance of Low C-Cr Steel. 574~575

(Study on corrosion resistance of Cr steel—I)

Dr. Hideo OSAWA and Teiji ASADA.

I. 緒 言

最近ステンレス鋼の利用度が高まりつつある。ステンレス鋼の耐食性に関しては多くの研究結果が報告されているが、基礎的資料は以外に少いのである。著者らはCrを10~19%の間に変化し、Cを0.02%~1.0%の間に広範囲に変化して、各種の濃度の硝酸に対する耐食性を詳細に調査した。以下にその結果を報告する。

II. 試 料

試料は35kVA高周波炉により2.7kg ingotを溶製のち20mmφに鍛伸して用いた。

III. 実験方法

試料はいずれも960°Cに1h保持後油冷し、650°Cおよび750°Cの2通りの温度に焼戻したのち15×8mmの長さに加工し、04(#700)まで研磨仕上げを行ない予め調製された腐食液中に浸漬し、8h boiling後の腐食減量(g/m²/h)を求めた。使用した腐食液は10~65(wt)%の硝酸で1lのフラスコ中に液量400ccをとり、この中に試片を浸漬した。液量は試片表面積1cm²当り25~30ccである。

IV. 実験結果

1) 耐食性(腐食減量)

i) 硝酸濃度と腐食量

C量0.02%グループでCr量をパラメーターとし硝酸濃度と腐食減量の関係をFig. 1に示した。Fig. 1によれば15%Cr鋼までは硝酸濃度の低いところで最大腐食量を示し、17%Cr鋼以上になると逆に硝酸濃度の高いところで最大腐食量を示した。すなわちCr量が増すにつれて最少の腐食量を示す点が硝酸濃度の低い方に移ることが認められる。この結果を判り易くするために最少の腐食量を示す点をCr量と硝酸濃度により示したのがFig. 2である。Fig. 2によれば、Cr量が増すにつれて不動態化に必要な硝酸濃度は低濃度側に移ることが認められた。

ii) Cr量の影響

Cr量を10~19%の間に変化させたときの各硝酸濃度とC量による腐食量の関係をFig. 3に示した。Fig. 3によればCr量約12~14%まではCrの増すにつれて急激に腐食量が減少し、C量が増すにつれて同一耐食

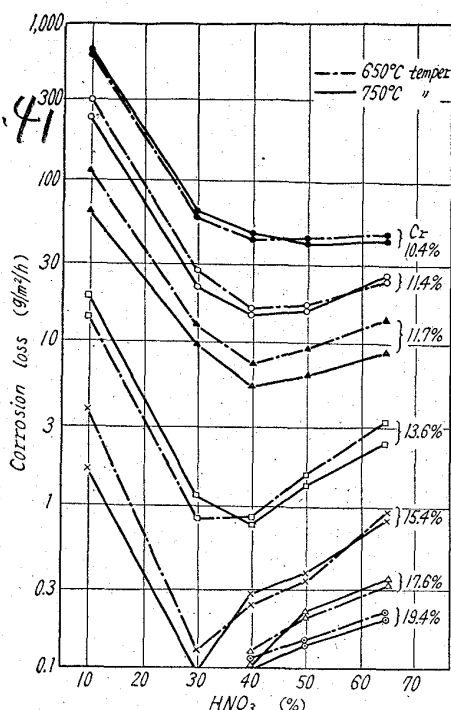


Fig. 1. Relation between HNO₃% and corrosion loss in 0.02%C Cr steels.

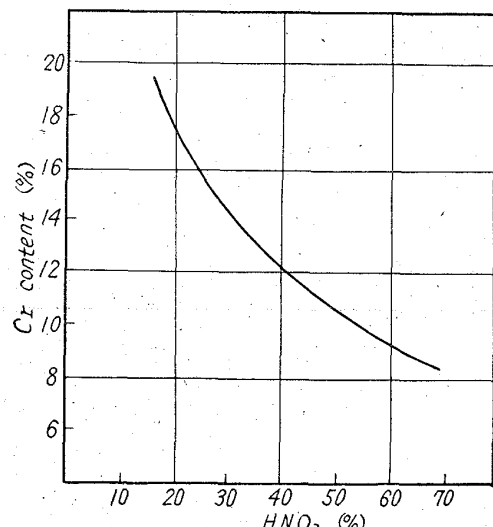


Fig. 2. Effect of Cr content and nitric acid percentage on the minimum line of corrosion loss.

性を得るに必要なCr量は多くなることが認められた。

iii) C量の影響

Fig. 4にCr量10%, 13.5%, 19%における硝酸濃度と腐食量の関係をC%別に示した。C%が増すにつれて腐食量は増加する傾向を示し、また、Cr量の増すにつれてC量による腐食量の差が少くなることが認められた。

2) 腐食後の試料表面着色状況

鋼を焼戻した場合に着色するいわゆるtemper colorについては知られているが、硝酸腐食後の試料表面にもそれに似た着色が認められた。その着色状況は、Cr量